

ОБЗОР

УДК 53.082.74

СКАНИРУЮЩАЯ МАГНИТОМЕТРИЯ ВЫСОКОГО РАЗРЕШЕНИЯ НА ОСНОВЕ СВЕРХПРОВОДЯЩЕГО КВАНТОВОГО ИНТЕРФЕРОМЕТРА

© 2001 г. С. А. Гудошников, Л. В. Матвеев, В. В. Мигулин,
О. В. Снигирев, А. М. Тишин

Поступила в редакцию 01.02.2001 г.

Представлен обзор методов и устройств на основе сверхпроводящих квантовых интерферометров (сквидов), предназначенных для измерения и визуализации магнитных полей рассеяния вблизи поверхности слабомагнитных физических объектов. Описаны принципы работы, конструктивные особенности и основные характеристики сканирующих сквид-магнитометров, рассмотрены их возможности для фундаментальных и практических применений. Проведено сравнение характеристик различных типов магнитных микроскопов.

ВВЕДЕНИЕ

В магнитометрию высокого разрешения входят приборы и методы исследований, позволяющие получать изображения распределения магнитного поля над поверхностью исследуемого объекта с пространственным разрешением от десятых долей микрометров до единиц миллиметров. Диапазон регистрируемых магнитных полей варьируется от нескольких тесла до долей пикотесла. Наряду с хорошо известными методами визуализации магнитных полей, с такими как магнитооптика и декорирование магнитными частицами (см., например, [1, 2]) в последнее десятилетие появились сканирующие магнитные микроскопы: магнитный силовой микроскоп [3–5] и микроскоп на основе микродатчиков Холла [6, 7].

В первой половине 90-х годов разработаны и реализованы сканирующие магнитометры, в которых в качестве чувствительного элемента используют сквиды (от англ. SQUID – Superconducting Quantum Interference Device) [8–17]. Сквид является преобразователем действующего магнитного потока Φ , пронизывающего его кольцо, в напряжение. Типичное значение минимального регистрируемого потока составляет $10^{-5} \Phi_0/\text{Гц}^{1/2}$, где Φ_0 – квант магнитного потока, равный $2 \cdot 10^{-15} \text{ Вт}$. Даже при малых значениях эффективной площади сквida A , например 20 $\mu\text{м}^2$, его чувствительность по магнитному полю $B_n = \Phi_n/A$ чрезвычайно высока и составляет 10^{-9} Тл .

В сканирующих магнитометрах на основе сквida, называемых сканирующими сквид-микроскопами (ССМ), образец перемещается в плоскости $X-Y$ относительно сквida, при этом сквид изменяет нормальную к поверхности образца компоненту магнитного поля B_z . Во время сканирования выходной сигнал сквida регистрируется в зависи-

мости от текущих координат и преобразуется при помощи компьютера в двумерное или трехмерное изображение распределения магнитного поля. Чувствительность по магнитному полю и пространственное разрешение ССМ являются взаимосвязанными и определяются размерами сквida и расстоянием h между сквидом и образцом. Оптимальное соотношение параметров достигается в том случае, когда образец находится от сквida на расстоянии, приблизительно равном линейному размеру петли сквida. ССМ могут работать в полях подмагничивания до 10^4 А/м , имеют широкий 0...200 кГц частотный диапазон. Специальные схемы регистрации сигналов сквida позволяют расширить частотный диапазон до десятков гигагерц.

Первый сканирующий сквид-микроскоп создан в начале 80-х годов в компании IBM (Thomas J. Watson Research Center). В то время фирма IBM поддерживала программу создания компьютера на основе сверхпроводящих джозефсоновских переходов. При работе над этой программой возникли затруднения, связанные с тем, что при охлаждении сверхпроводящих схем до температуры кипения жидкого гелия (4.2 К) наблюдали захват сверхпроводником магнитного потока, нарушающего работу джозефсоновских переходов. ССМ задуман и создан как диагностический инструмент, при помощи которого можно определить наличие магнитных вихрей. Получены линейные сканы индивидуальных вихрей магнитного потока, локализованных в отверстиях тонкой пленки ниобия, с отношением сигнал/шум, равным 5, и пространственным разрешением 500 мкм [8]. В 1984 г. разработка ССМ в компании IBM была приостановлена в связи с прекращением программы по созданию сверхпроводящего компьютера.

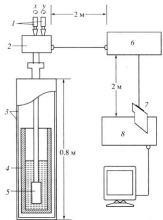


Рис. 1. Функциональная схема сканирующего сквид-микроскопа: 1 — шаговые двигатели; 2 — электроника сквида; 3 — магнитные экраны; 4 — криостат с жидким азотом; 5 — криогенная штанга со сквидом, образцом и механизмом перемещения образца; 6 — блок электроники; 7 — АЦП; 8 — компьютер.

Дальнейшее развитие сканирующей сквид-магнитометрии в начале 90-х годов связано с успехами в технологии изготовления тонкопленочных сквидов. Появились низкотемпературные сверхпроводящие (НТСП) сквиды с рабочей температурой порядка 4.2 К [14]. На основе микросквидов созданы ССМ, позволяющие получать магнитные изображения с пространственным разрешением в единицы микрометров. Эти ССМ использовали, в частности, для изучения нижневой структуры и динамики вихрей в сверхпроводящих решетках и кластерах при $T = 4.2$ К [15] и для выявления симметрии параметра порога в высокотемпературных сверхпроводниках [16–18].

Открытие в 1986 г. высокотемпературной сверхпроводимости привело к созданию сквидов с рабочей температурой, равной температуре кипения жидкого азота: $T = 77$ К (ВТСП-сквиды). Первый ССМ на основе ВТСП-сквиде [19], позволяющий получать изображения магнитных полей с пространственным разрешением порядка 50 мкм, появился в 1993 г. в США. Микроскоп использовали для регистрации магнитных полей рассеяния намагниченных образцов, визуализации вихревых токов проводящих объектов [20], получения

изображений распределения радиочастотных [21] и микроволновых [22] полей.

Сочетание высокой чувствительности с пространственным разрешением в единицы микрометров позволяет исследовать при помощи ССМ малоразмерные и слабомагнитные объекты. Достоинством ССМ является возможность проводить количественные измерения магнитных полей. В настоящее время эти устройства используются при исследовании магнитных свойств тонких сверхпроводящих и магнитных пленок, биологических объектов. Показаны их возможности в области неразрушающего контроля при поиске различных дефектов в материалах, металлических конструкциях и изделиях микроэлектроники.

В данной работе описаны принципы действия и конструктивные особенности наиболее важных узлов сканирующих сквид-микроскопов высокого разрешения. Рассмотрены их возможности для исследований объектов, находящихся при различных температурах. Проведено сравнение характеристик сканирующих сквид-микроскопов с магнитно-силовыми микроскопами и микроскопами на основе датчиков Холла.

1. ОСНОВНЫЕ УЗЛЫ ССМ

Функциональная схема сквид-микроскопа для исследования охлаждаемых физических объектов приведена на рис. 1. Конструктивно ССМ состоит из нескольких основных узлов: сквид-датчика, сквид-электроники, криостата, системы магнитных экранов, механизма перемещения образца и персонального компьютера, обеспечивающего сбор данных и управление работой ССМ. Ниже рассмотрены требования к этим узлам и их основные особенности.

Сквиды, принципы работы. Сквид представляет собой сверхпроводниковый преобразователь воздействующего на него магнитного потока в напряжение [23]. Действие сквиде основано на двух физических явлениях: эффекте Джозефсона и эффекте квантования магнитного потока. Конструктивно сквид представляет собой замкнутый сверхпроводящий контур, который содержит либо один (высокочастотный или ВЧ-сквид), либо два (сквид постоянного тока или ПТ-сквид) джозефсоновских перехода. В настоящее время наиболее распространены тонкопленочные ПТ-сквиды, поэтому только их и будем рассматривать в данной работе. Представим принципы действия на примере низкотемпературного ПТ-сквиде с шунтированными туннельными джозефсоновскими переходами, эквивалентная схема которого приведена на рис. 2а.

Два перехода включены параллельно в сверхпроводящий контур с индуктивностью L . Каждый

из переходов защищирован резистором R для исключения гистерезиса на вольт-амперных характеристиках сквида. На рис. 26 приведены типичные вольт-амперные характеристики сквида для двух значений приложенного магнитного потока $\Phi_1 = n\Phi_0$ и $\Phi_2 = (n + 1/2\Phi_0)$, где $\Phi_0 = h/2e \approx 2.07 \cdot 10^{-15}$ Вб – квант магнитного потока, n – целое число. При изменении потока Φ меняется как критический ток джозефсоновских переходов I_{cp} , так и положение гиперболических ветвей вольт-амперной характеристики. Это дает возможность регистрировать изменения магнитного потока $\Delta\Phi$ по изменению среднего напряжения на сквиде при пропускании через него постоянного тока смещения $I_{cm} > I_{cp}$. Характерная осциллирующая зависимость напряжения на сквиде от величины отношения Φ/Φ_0 при постоянном токе смещения, называемая его вольт-полевой характеристикой, $V(\Phi)$, приведена на рис. 2 в. Как правило, рабочую точку сквида выбирают на кривой части вольт-полевой характеристики, где коэффициент преобразования $V_\phi = |\partial V / \partial \Phi|$ максимален. В области низких частот чувствительность сквида характеризуется эквивалентным шумовым потоком Φ_ϕ . Наилучшую чувствительность сквид имеет, если величина приведенной индуктивности $\beta_L = -2I_{cp}/\Phi_0 \approx 1$. В этом случае оценка предельной спектральной плотности магнитного шумового потока приближительно равна

$$S_\phi = 18k_B T L^2 / R, \quad (1)$$

где k_B – постоянная Больцмана, T – рабочая температура. При типичных значениях $L = 0.2$ нГ, $T = -4.2$ К и $R = 3$ Ом из (1) получим оценку среднеквадратичного значения шумового потока в единицах кванта магнитного потока (S_ϕ)^{1/2} = 1.7 мкФ₀/Гц^{1/2}, которая близка к уровню шумового потока в реальных НТСП-сквидецах.

Современные низкотемпературные сквиды постоянного тока представляют собой многослойные тонкопленочные структуры. Их изготавливают, применяя технологию фотолитографии и электронно-лучевой литографии. Наиболее распространены сквиды из ниобия с туннельными джозефсоновскими переходами: Nb/Al_xO_y/Nb, типичное устройство которых хорошо представлено в [15].

Современные ВТСП-ПТ-сквиды изготавливают в основном по однослойной технологии на основе пленок YBa₂Cu₃O_{x-y}. Пленку наносят на бикристаллическую подложку из титаната стронция SrTiO₃, спаренную из двух кристаллов с различной ориентацией кристаллографических осей. Джозефсоновские переключатели формируют на границе кристаллов в узких (1...5 мкм) сверхпроводящих мостиках, пересекающих скриншитовую шов подложки [20]. В настоящее время ВТСП-сквиды несколько уступают по чувствительности низкотемператур-

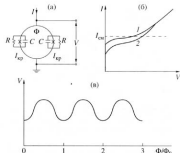


Рис. 2. Эквивалентная схема сквидеа постоянного тока (а); вольт-амперные характеристики сквиде (б); зависимость напряжения сквиде от величины отношения Φ/Φ_0 при постоянном токе смещения I_{cm} (в).

ным аналогам. Типичные значения шумового потока ВТСП-сквидов составляют 7...10 мкФ₀/Гц^{1/2}.

Сквиды для сканирующих микроскопов имеют ряд конструктивных особенностей, связанных с требованием достижения наилучшего пространственного разрешения и хорошей чувствительности по магнитному полю. Контуры сквиде обычно выполняют в виде тонкого сверхпроводящего кольца, размер внутреннего отверстия которого выбирают равным минимальному расстоянию между обрацом и сквидом [10-12]. Сквид формируют вблизи края подложки, а его контактные площадки удаляют к противоположному краю. По отношению к образцу подложку располагают в слабонаклонном положении так, чтобы сквид находился максимально близко к образцу [12, 13, 15, 19].

Сквид-алегрометры. Для регистрации сигналов сквиде используют модуляционную потокозапирающую электронную схему [23], схематическое изображение которой приведено на рис. 3. На сквид J подают постоянный ток смещения I_{cm} , величина которого не намного превышает суммарный критический ток джозефсоновских контактов, а с генератора b в катушку 7 задают переменный ток с частотой f , лежащей обычно в пределах от 100 до 500 кГц. Создаваемый этой катушкой поток подмагничивания с амплитудой $\Phi_0/4$ и постоянный поток смещения Φ_{cm} , задавший положение рабочей точки, подводят к сквиду. Возникающее при этом на сквиде напряжение в силу периодичности его вольт-полевой характеристики содержит составляющие с частотой модуляционного сигнала и его второй гармоники. Сквид соединяют с предусилителем 3 через ох-

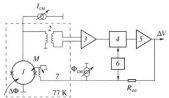


Рис. 3. Функциональная схема сквид-электроники: 1 — сквид; 2 — согласующий трансформатор; 3 — предварительный усилитель; 4 — синхронный детектор; 5 — интегратор; 6 — генератор; 7 — катушка обратной связи.

лаждаемый трансформатор 2. После предварительного усиления сигнал сквирда регистрируют синхронным детектором 4 и подают на интегратор 5. Сглаженный сигнал выходного напряжения поступает на катушку 7 через последовательно включенный резистор обратной связи R_{cc} . Создаваемый катушкой магнитный поток воздействует на сквид, замыкая цепь отрицательной обратной связи. Выходным сигналом в этой схеме является напряжение V , связанное с регистрируемым потоком $\Delta\Phi$ соотношением

$$\Delta V = \Delta\Phi(R_{cc}/M), \quad (2)$$

где M — коэффициент взаимной индукции между катушкой 7 и сквидом 1.

Такая схема позволяет измерять изменения потока в интервале от десятков микродолей одиночного кванта потока до уровня сотен квантов потока. Частотный диапазон схемы лежит в пределах от 0 до десятков килогерц, максимально отслеживаемая скорость изменения потока составляет $10^6 \Phi_0/\text{с}$.

Криогенное обеспечение ССМ. Для работы сквидов необходимы низкие температуры. Криогенную часть ССМ с охлаждаемым образцом (см. рис. 1) погружают в криостат с хладагентом [10, 11, 19, 24]. В качестве криостатов можно использовать стандартные транспортные дьюары с широкой горловиной (>40 мм) или пластиковые криостаты. В зависимости от объема криостата длительность непрерывной работы ССМ варьируется от одних суток до одного месяца. Достоинством таких систем являются простота конструкции, стабильность рабочей температуры и возможность обеспечения минимального расстояния между образцом и сквидом.

В случае, когда температуры датчика и образца различны, используют криостаты с вакуумированной камерой. Образец и сквид размещают внутри камеры; рабочую температуру сквирда поддерживают при помощи хладопровода, возмож-

ность изменения температуры образца обеспечивают нагревательным элементом [12, 13, 15, 17].

Для изучения физических и биологических объектов, находящихся при комнатной температуре, необходимы специализированные азотные криостаты с вакуумной камерой и тонким окном, отделяющим вакуум от внешней атмосферы [25–28]. Сквид закрепляют на хладопроводе и размещают в вакуумном пространстве на минимальном расстоянии от окна, с другой стороны которого находится исследуемый образец.

Магнитное экранирование. Для реализации высокой чувствительности ССМ необходима защита от внешних магнитных полей и радиочастотных помех. К последним относятся постоянное магнитное поле Земли, величина которого близка к 50 мкТл, помехи сетевой частоты 50 Гц (60 Гц) и ее гармоник, достигающие в обычных лабораторных условиях 10...300 нТл, а также высокочастотные помехи телевидения, радио, компьютеров, влияющие на процессы в джозефсоновских переходах сквидов и ухудшающие их характеристики.

В гелиевых системах, работающих при $T = 4.2$ К, обычно используют сверхпроводящие изобиевые и свинцовые экраны, обеспечивающие ослабление низкочастотных магнитных помех более чем в 1000 раз, этого вполне достаточно для работы сквида.

В азотных системах используют двухслойные и трехслойные экраны из пермаллоя, внутри которых располагают криостат. Степень требуемой экранировки зависит от размеров сквирда, уровня его собственных шумов и полосы пропускания электроники. Например, при использовании сквирда с эффективной площадью 50 мкм \times 50 мкм желательно, чтобы величина остаточного постоянного магнитного поля в области расположения сквирда не превышала 0.4 мкТл.

Механизмы позиционирования. Механизмы перемещения образца (позиционирования) характеризуются максимальной площадью сканирования, минимальным шагом, скоростью движения и величиной механического гистерезиса. Все эти параметры зависят от типа механизма, условий эксплуатации и требуемой точности. В современных механизмах позиционирования управление движением и слежение за текущей координатой относительно выбранной начальной точки сканирования осуществляется автоматически при помощи персонального компьютера.

Движущиеся части механизма позиционирования в ССМ находящиеся вблизи сквирда, должны быть выполнены из немагнитных и неметаллических материалов, чтобы минимизировать магнитный шум и не создавать паразитные поля рассеяния или поля, связанные с вихревыми токами.

Как правило, в ССМ осуществляется перемещение образца относительно сквида, так как движение сквива даже в слабых (но всегда присутствующих) остаточных магнитных полях вызывает появление паразитных сигналов. При исследовании больших объектов, когда необходимо перемещать датчик вдоль образца, используется градиометрическая конструкция сквива, при помощи которой компенсируется влияние однородного внешнего магнитного поля.

В сквид-микроскопах, предназначенных для измерения охлаждаемых образцов, главная часть механизма перемещения должна быть криогенной, ее размеры ограничиваются диаметром горловины криостата (обычно 40...80 мм). Поэтому площадь сканирования не превышает 1 см × 1 см, что вполне приемлемо для многих задач. Минимальный шаг перемещения в X-, Y- направлениях обычно составляет 0,5...1 мкм. В ряде ССМ перемещение образца осуществляется при помощи системы немагнитных толкающих стержней, пригодимых в движение шаговыми двигателями [20, 24], достаточно удаленными от сквива, чтобы не создавать магнитные помехи. В гелиевых системах охлаждаемую часть герметизируют для защиты подвижных частей от оседания и замерзания конденсата (пары воды, кислород, азот и др.).

В микроскопах, предназначенных для исследования образцов с комнатной температурой, механизм перемещения может быть выполнен на основе готовых коммерческих модулей [25].

2. ПРАКТИЧЕСКИЕ КОНСТРУКЦИИ ССМ

Используемый хладагент и температура образца определяют возможности и конструкцию ССМ. Чтобы отразить эти особенности, будем далее называть сквид-микроскопы ССМ-4.2, если сквид и образец охлаждаются жидким гелием, ССМ-77, если сквид и образец охлаждаются жидким азотом, и ССМ-300, если образец находится при комнатной температуре, вне зависимости от используемого сквива и хладагента.

ССМ-77. Функциональная схема сканирующего сквид-микроскопа на основе ВТСП-сквива для изучения физических объектов, находящихся при температуре жидкого азота, приведена на рис. 1. На примере ССМ-77, который изготовлен в 1994 г. в России [24, 29], рассмотрим подробнее устройство криогенных штанги 5, являющейся основной частью сквид-микроскопа. На верхнем конце штанги расположены два шаговых двигателя 1, которые вращают соответствующие микрометрические винты. Поступательное движение этих микровинтов передается через длинные тяги к X-, Y-стержням криогенного координатного механизма, перемещающего образец в плоскости X-Y. Координатный механизм схематически показан

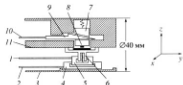


Рис. 4. Схематическое изображение краевой части ССМ-77: 1 – X-стержень, 2 – Y-стержень, 3 – основание, 4 – X-каретка, 5 – Y-каретка, 6 – столик с образцом, 7 – держатель сквива, 8 – сквид, 9 – Z-клины, 10 – Z-стержни, 11 – базовая поверхность.

на рис. 4. Под действием Y-стержня 2 Y-каретка 4 может двигаться относительно основания 3 в направлении Y. Размещенный на Y-каретке X-каретка 5 перемещает столик с образцом 6. Перемещение X-каретки осуществляется при помощи X-клина (не показанного на рисунке), трансформирующего с отношением 2 : 1 перемещение X-стержня 1 вдоль оси Y в перемещение X-каретки вдоль оси X. Столик с образцом слегка подпружинен и во время перемещения прижимается к поверхности 11. Механизм обеспечивает максимальное перемещение 8 мм по каждой из координат и наименьший шаг сканирования порядка 1 мкм. Последний определяется минимальным углом поворота шагового двигателя и коэффициентом передачи микровинта (для координаты X необходимо учитывать коэффициент передачи клиньевой пары).

Дополнительный микрометрический винт, тягу, Z-стержень 9 и Z-клины 8 используют для перемещения держателя сквива 7 и регулировки расстояния сквид-образец вдоль координаты Z. Держатель сквива перемещается в направлении Z при помощи Z-клина, преобразующего движение стержня вдоль оси Y в перемещение держателя вдоль оси Z с отношением 4 : 1. Сквид 8 закрепляют на нижней плоскости держателя сквива. Расстояние между сквидом и образцом можно регулировать от 2 мм до касания подложки и образца с минимальным шагом 5 мкм.

Используемый в ССМ сквид изготавливается из тонкой $\text{YBa}_2\text{Cu}_3\text{O}_{7-\delta}$ – пленки, нанесенной на бикристаллическую подложку из титаната стронциев. Сквид имеет форму квадрата с внутренним квадратным отверстием. Джозефсоновские переходы образуются в месте пересечения шва бикристалла сверхпроводящими мостиками шириной 3 мкм. Общий вид чипа, на котором сформированы два сквива 1 и 2 и токовый виток 3, приведен на рис. 5а. Шов бикристаллической подложки проходит вертикально по центру чипа, сквиды

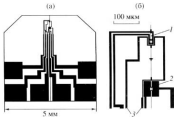


Рис. 5. Общий вид подложки с ВТСП-сквидом (а); увеличенное изображение сквидов (б).

расположены вблизи заостренного края подложки, а контактные площадки смешены к противоположной стороне чипа. При размещении подложки под небольшим углом к образцу такая конструкция позволяет максимально приблизить сквид к поверхности образца. Увеличенное изображение сквидов приведено на рис. 5б. Сквид 1 с внешней стороной 20 мкм и внутренним отверстием 10 мкм расположен ближе к краю подложки и используется при измерениях, требующих наибольшего пространственного разрешения. Сквид 2 с соответствующими размерами 60 и 10 мкм имеет большую эффективную площадь и используется, когда необходимо увеличить чувствительность по магнитному полю.

При измерениях сквид работает в режиме замкнутой обратной связи. Полоса пропускания сквид-электроники составляет 5 кГц, эквивалентный шум магнитного потока в области частот 0,1...200 Гц изменяется как $1/f$ и на частоте $f = 1$ Гц равен $5 \cdot 10^{-6} \Phi_0/\text{Гц}^{1/2}$. Динамический диапазон системы порядка $2 \cdot 10^5$ Гц $^{1/2}$.

ССМ-4.2. Сквид-микроскопы гелиевого уровня охлаждения на основе низкотемпературных сквидов разработаны в США [12, 13]. В одной из конструкций сквид и образец располагаются в закрытой камере и охлаждаются газообразным гелием за счет контакта с заполненным жидким гелием резервуаром. Перемещение образца осуществляется через сильфонное соединение при помощи специального манипулятора, расположенного при комнатной температуре. Это исключает заклинивание механизма позиционирования вследствие конденсации и замерзания паров воды. В этом ССМ используется сквид из ниобия со стандартными туннельными джозефсоновскими переходами ($\text{Nb}/\text{AlO}_x/\text{Nb}$). Сквид закреплен на гибком шарнирном устройстве из майлара так, чтобы край подложки со сквидом под действием силы тяжести касался бы образца. Меняя коорди-

нату z -образца, в пределах нескольких градусов можно варьировать угол между образцом и подложкой датчика, изменения расстояние датчик-образец вплоть до 5 мкм. Сквид и образец окружены сверхпроводящим экраном из свинца, расположенным внутри камеры, снаружи ССМ имеется однослоистый экран из пермаллоя. Основные параметры ССМ-4.2 различных типов представлены в таблице.

ССМ-300. ССМ высокого разрешения на основе ВТСП-сквидов для неразрушающего контроля и исследования образцов, находящихся при комнатной температуре [25–27], появились в 1996 г. Основой конструкции ССМ-300 является специализированный азотный криостат, обеспечивающий минимальное расстояние между ВТСП-сквидом (рабочая температура 77 К) и образцом (300 К). Криостат представляет собой вакуумную камеру, в которой размещают резервуар для жидкого азота. На верхнем фланце азотного резервуара укрепляется хладопровод, составленный из медного стержня (внутри азотного резервуара) и скрепленных с ним сапфировых стержней (в вакуумированной части криостата). Последний сапфировый стержень проходит внутри юстировочного механизма к тонкому окну из нитрида кремния (Si_3N_4). Юстировочный механизм позволяет изменять положение тонкостенного окна и уменьшать вакуумный промежуток между окном и сквидом до нескольких десятков микрометров. Находящийся при комнатной температуре образец перемещается в непосредственной близости от окна при помощи X - Y -сканирующего устройства. вся механическая часть ССМ-300 размещена внутри трехслойного экрана из пермаллоя. Шаговые двигатели, приводящие в движение координатный механизм, расположены вне экранов и соединяются с устройством посредством стержней из фибергласса. Управление работой ССМ и сбор данных осуществляются при помощи персонального компьютера. Основные параметры ССМ-300 приведены в таблице.

Другие конструкции ССМ. В 1997 г. появились работы [29, 30], в которых описано использование в сочетании со сквидом ферромагнитной магнитомягкой иглы с целью повышения пространственного разрешения ССМ. Игла располагается между сквидом и образцом и является магнитопроводом, воспринимающим вариации магнитного потока вблизи поверхности образца и передающим его к петле сквида. В такой конфигурации пространственное разрешение определяется диаметром острия иглы (при расстоянии до образца порядка диаметра иглы), а чувствительность по магнитному полю – параметрами сквида и коэффициентом связи иглы и сквидом. Как показала экспериментальная оценка, пространственное разрешение прибора может достигать 100 нм, что сравнимо с разрешением магнитного силового

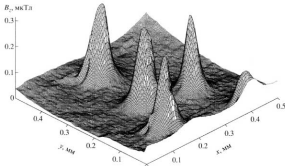


Рис. 6. Магнитное изображение отдельных квантов магнитного потока (вихрей) в пленке $\text{YBa}_2\text{Cu}_3\text{O}_{7-\delta}$ при охлаждении ниже T_{cp} в нулевом магнитном поле.

го микроскопа, но значительно превышает его чувствительность.

При решении ряда научных задач необходимо изучить магнитные свойства образца в широком интервале температур. Оригинальная конструкция ССМ, предназначенная для исследования образцов как при 77 К, так и при 300 К, создана в Японии [31]. В Швеции прошел испытания сканирующий сквид-микроскоп, позволяющий измерять образцы в интервале температур от 5 до 100 К [32].

Параметры нескольких сканирующих сквид-микроскопов различных типов приведены в таблице, где указаны температура, при которой находится исследуемый образец, рабочая температура датчика, тип датчика, его основные параметры, параметры системы перемещения образца и пространственное разрешение ССМ. Частотные и динамические характеристики не включены в таблицу, так как они близки у большинства ССМ:

динамический диапазон	100...130 дБ,
рабочая полоса частот	0...5 кГц,
скорость сканирования	$10^5 \Phi_0/\text{с}$

Величина чувствительности ССМ с иглой (Германия) не приведена в оригинальной работе, поэтому ее оценка дана в соответствии с типичными параметрами ВТСП-сквида.

3. ПРИМЕНЕНИЯ ССМ

Сканирующие сквид-магнитометры высокого разрешения перспективны для исследований мало-

размерных и слабомагнитных объектов. В качестве иллюстрации возможных применений ССМ ниже приведены результаты, полученные авторами при помощи ССМ -77 (разд. 2), и кратко описаны исследования, проведенные с использованием других ССМ.

ВТСП пленки. Монокристаллические ВТСП-пленки с температурой перехода в сверхпроводящее состояние выше 90 К являются основой устройства высокотемпературной слаботочечной сверхпроводниковой электроники, например сквид-магнитометров и градиентометров. ВТСП-пленки являются жесткими сверхпроводниками второго рода. Магнитное поле проникает в них в виде квантов магнитного потока (вихрей), которые закрепляются на структурных неоднородностях пленки. В реальных магнитометрических устройствах вихри могут приводить к появлению гистерезиса в крионах намагничивания и возникновению избыточного низкочастотного шума, вызываемого термически активированным передвижением вихрей.

ССМ-77 использовали для регистрации магнитных полей над поверхностью тонких сверхпроводящих монокристаллических пленок $\text{YBa}_2\text{Cu}_3\text{O}_{7-\delta}$ в слабых магнитных полях при $T = 77$ К. На рис. 6, представлено изображение распределения B_z -компоненты поля на расстоянии 20 мкм над пленкой, переведенной в сверхпроводящее состояние в квазинулевом магнитном поле величиной порядка $10^{-5} \text{ A}/\text{м}$. Резкие магнитные особенности на изображении соответствуют одиночным квантам магнитного потока, проникающим в пленку [33]. В некоторых случаях в изображениях одновре-

Основные параметры ССМ

Источник	Темпера- тура, К		Датчик			Сканирование			Прост- ранствен- ное разре- щение, мкм
	Обра- зец	Дат- чик	Тип датчика	A_{eff} , мкм 2	$\sqrt{S_\Phi}$, мк Фл/ $\sqrt{\text{Гц}}$, $(\sqrt{S_B}$, нГа/ $\sqrt{\text{Гц}}$)	$A_{\text{ск}}$, мм 2	$\Delta x, \Delta y$, мкм	h , мкм	
Illinois, USA, 1993 [12, 13]	-5	-5	НТСП-сквид	100	100 (2)	10 × 10	<4	5	<10
New York, USA, 1995 [15]	4.2	4.2	НТСП-сквид	-75	2 (0.05)	0.4 × 0.4	-0.25	-10	10
Москва, Россия, 1994 [24]	77	77	ВТСП-сквид	600	20 (0.066)	10 × 10	5	50	50
Maryland, USA, 1993 [11]	77	77	ВТСП-сквид	12000	100 (0.166)	10 × 10	<10	60...1000	80
California, USA, 1996 [27]	293	77	ВТСП-сквид	260	18 (0.12)	25 × 25	5.77	15	15
Saarbrücken, Germany, 1997 [29]	77	77	ВТСП-сквид с иглой	-0.01	20 (4000)	0.015 × 0.015	0.1	0.1	0.1

Примечание. A_{eff} – эффективная площадь датчика; $\sqrt{S_\Phi}$ – спектральная плотность шумового потока (белый шум); $\sqrt{S_B}$ – эквивалентная спектральная плотность магнитной индукции; $A_{\text{ск}}$ – максимальная площадь сканирования; $\Delta x, \Delta y$ – минимальный шаг при перемещении в направлениях x, y ; h – расстояние между образцом и датчиком.

менно наблюдали магнитные особенности различного знака. Изображение магнитного поля над YBaCuO-пленкой, охлажденной в магнитном поле порядка 50 мкТл (близком к значению магнитного поля Земли), соответствует полному проникновению поля в пленку. Проникший в пленку магнитный поток удерживался при больших изменениях внешнего поля.

Изучение особенностей проникновения магнитного потока в ВТСП-пленки позволяет судить об их сверхпроводящих свойствах и может дать важную информацию для улучшения свойств ВТСП магнитоизмерительных устройств [34].

Магнитные и токовые структуры. Эти структуры представляют наиболее широкий класс объектов, которые можно исследовать при помощи ССМ. К ним относятся, например, ультратонкие пленки, магнитные записывающие среды, содержащие микромагнитные частицы красителя, токопроводящие тонкопленочные структуры.

При помощи ССМ-77 проведены исследования ультратонких пленок никеля [35, 36], интерес к которым вызван наблюдавшимися резкими изменениями свойств пленок при переходе от квазиобъемной структуры к двумерной. Пленки Ni толщиной от 8 до 200 Å наносили на подложку Si (100) и покрывали слоем золота. Образцы представляли собой квадраты со стороной 600 мкм. Их исследовали в параллельном и перпендикуляр-

ном магнитных полях величиной до 4000 и 70 А/м соответственно.

Магнитное изображение пленки Ni толщиной 26 Å в поле, параллельном плоскости пленки, приведено на рис. 7а. Острые пики максимума и минимума B_z -компоненты магнитного поля зарегистрированы у противоположных краев исследуемой пленки, обозначенной на рисунке штриховой линией. Симметричность изображения указывает на то, что вектор намагниченности лежит в плоскости пленки и его направление совпадает с направлением приложенного поля. При отсутствии магнитного поля остаточная намагниченность 26 Å пленки мала. Магнитные изображения пленок толщиной 43, 84 и 200 Å, измеренные в нулевом магнитном поле, имели четкие пары симметричных максимумов и минимумов у противоположных углов квадрата пленки. При приложении параллельного магнитного поля величиной 4000 А/м магнитный момент пленки разворачивался и устанавливается вдоль направления поля, экстремумы сдвигались к положению, показанному на рис. 7а. От пленок толщиной 8 и 15 Å не удалось зарегистрировать сигнал при каких величинах поля подмагничивания. Рассчитанная зависимость намагниченности насыщения пленок от их толщины приведена на рис. 7б. Штриховой линией показана величина намагниченности насыщения объемного Ni. Видно, что 2D-3D-пере-

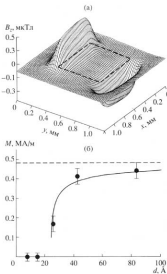


Рис. 7. Магнитное изображение пленки Ni толщиной 26 Å размером 0.6 мм × 0.6 мм в приложении магнитном поле величиной 4000 А/м, направлением параллельно осям у (а), и зависимость намагниченности насыщения от толщины d пленки (б).

ход происходит при толщине пленки в интервале от 20 до 80 Å.

Ультратонкие магнитные пленки можно использовать в качестве своеобразных меток для защиты от подделок и установления подлинности ценных документов. Микроскопическую тонкопленочную структуру наносят в условленное место и закрывают каким-либо защитным слоем. Для установления подлинности документа метку намагничивают в небольшом по величине параллельном магнитном поле, а затем область, в которой расположена метка, сканируют сквид-микроскопом. Слабый магнитный сигнал метки обнаруживается только сквид-микроскопом и никаким другим методом не может быть зафиксирован и измерен. По предложенному методу защиты ценных бумаг и других носителей информации получен патент [37].

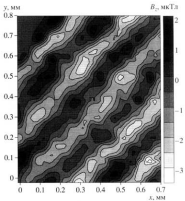


Рис. 8. Магнитное изображение фрагмента флоопи-диска с записанными данными (темные дорожки).

CCM-77 использован для визуализации магнитных полей рассеяния стандартного флоопи-диска. Магнитная записывающая среда флоопи-диска представляет собой, как правило, слой Fe-Co-микрочастиц, каждая размером порядка 1 мкм. Частицы имеют ориентированный в плоскости пленки магнитный момент. В процессе процедуры форматирования флоопи-диск разбивают на 80 треков шириной 0.115 мм с периодом 0.2 мм. В процессе записи информации частицы перемещиваются, образуя последовательность нулей и единиц, в которой нуль соответствует последовательная ориентация магнитных моментов, а единице – встречная ориентация моментов. На рис. 8 приведен пример магнитного изображения фрагмента стандартного 3-дюймового флоопи-диска с записанными данными, полученного на расстоянии 20 мкм от поверхности диска [38]. На рисунке хорошо видны более темные треки, разделенные светлыми промежутками порядка 0.1 мм. Темные пятна на треках соответствуют кластерам записанной на диске текстовой информации.

При помощи этого же CCM-77 проведено сканирование фрагмента портрета Дж. Вашингтона на однодолларовой купюре. Магнитное изображение части рисунка (правого глаза) представлено на рис. 9а. Профиль магнитного поля, измеренный при $x = 1.48$ мм, приведен на рис. 9б. Величина измеренного сквидом магнитного поля изменилась от +60 до -20 мкTл на расстоянии 50 мкм от

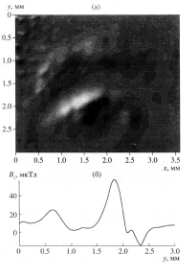


Рис. 9. Магнитное изображение части портрета Дж. Вашингтона (глаз) на однодолларовой купюре (а); область регистрируемых магнитных полей: от 60 мкТл (наиболее светлые части изображения) до -20 мкТл (наиболее темные части) и отдельный скан ядра языка при \$x = 1.48\$ мм (б).

образца. Впервые подобное изображение с пространственным разрешением 70 мкм приведено в работе [20], затем подобная купюра была использована для демонстрации возможностей ССМ-300, пространственное разрешение которого составило 130 мкм [26]. Приведенные примеры показывают, что ССМ с теплым образом можно применять для распознавания поддельных денежных купюр и ценных бумаг.

На рис. 10 представлено полученное при помощи ССМ-77 изображение \$B_z\$-компоненты магнитного поля, созданного постоянным током величиной 100 мА, протекающим по проводящему квадратному контуру со стороной 400 мкм. Максимальный градиент поля на изображении соответствует текущему току. По картине распределения магнитных полей токов можно локализовать дефекты типа закороток в работающих многослойных модулях или других электронных цепях.

ССМ-4.2 применен для изучения тонкошернистых структур из низкотемпературных и высокотемпературных сверхпроводников. В работе [13] представлены результаты исследования сверхпроводящих решеток из ниобия, охлажденных в слабых магнитных полях. В зависимости от величины приложенного магнитного поля получены изображения магнитных вихрей и связок вихрей, захваченных ячейками решетки. Цикл работ, выполненный в фирме IBM, позволил визуализировать джозефсоновские вихри с пространственным разрешением вплоть до 4 мкм. Эти вихри локализуются на границе двух сверхпроводящих гранул высокотемпературного сверхпроводника, образующих джозефсоновский переход. Впервые зарегистрированы полуцелые кванты потока на специально подготовленных ВТСП-образцах, что позволило сделать заключения о симметрии параметра порядка в этих сверхпроводниках [16–18]. Изображения мейснеровских токов, захваченного магнитного потока, а также одиночных квантов потока в тонкошернистом низкотемпературном сквиде представлена в работе [39].

ССМ-300 на основе ВТСП-сквиде использован для исследования живых магнитотактильных бактерий, каждая из которых обладает внутренним магнитным моментом порядка \$5 \cdot 10^{-16}\$ А·м². ССМ регистрировал флюктуации магнитного потока, связанные с их движением [27].

Одним из наиболее перспективных применений сканирующей сквид-микроскопии является неразрушающий магнитный контроль материалов и конструкций [40, 41]. ССМ-300 высокого разрешения использован для обнаружения и локализации магнитных включений микронного размера в немагнитную матрицу [42]. В работе [43] описано применение ВТСП сквид-магнитометра для детектирования магнитных примесей в быстро движущейся медной проволоке. Проволоку протягивали сквозь отверстие в экране со скоростями от 10 до 500 м/мин. Уверенно регистрировали частицы железа диаметром до 50 мкм.

4. СРАВНЕНИЕ МАГНИТОМЕТРИЧЕСКИХ МЕТОДОВ ВЫСОКОГО РАЗРЕШЕНИЯ

Сканирующим сквид-микроскопам наиболее близки по конструкции и параметрам магнитные силовые микроскопы и сканирующие магнитометры с чувствительным элементом на основе эффекта Холла. Ниже рассматриваются принципы действия этих устройств и проводится сравнение характеристик различных типов магнитных микроскопов.

Магнитный силовой микроскоп (МСМ). Такой микроскоп впервые продемонстрирован в 1987 г. [4]. Принцип его действия заключается в сканировании поверхности образца намагничен-

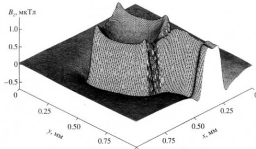


Рис. 16. Изображение магнитного поля, создаваемого током величиной 100 мкА, протекающим по квадратному нитку 0.4 мм × 0.4 мм с подводящими проводами.

ным зондом, укрепленным на упругой консоли, и в картировании отклика зонда, возникающего вследствие магнитостатического взаимодействия с полем образца. В качестве зонда используется магнитная микрочастица с острием, имеющим радиус закрутления порядка десятков нанометров. МСМ позволяет получать изображения поверхности постоянного градиента магнитного поля над образцом с субмикронным пространственным разрешением за счет малой площади острия и малых расстояний зонд–образец. Эквивалентная чувствительность МСМ по магнитному полю находится на уровне 10^{-4} Тл. При помощи МСМ возможна регистрация как магнитного изображения (бесконтактный режим), так и рельефа поверхности образца (контактный режим). Основные проблемы магнитно-силовой микроскопии связаны с неоднозначной интерпретацией получаемых изображений. Намагниченное острие [44, 45] вносит сильные локальные возмущения в намагниченность образца, вследствие чего получаемые от одинаковых объектов изображения сильно зависят от типа использованного микрозонда.

Магнитный силовой микроскоп использован для получения изображений магнитных полей стандартных записывающих головок [4], битов информации в записывающих средах [5, 44], доменной структуры многослойных магнитных сред, одиночных вихрей магнитного потока в высокотемпературных сверхпроводниках [45].

Сканирующий холла-микроскоп (СХМ). Этот микроскоп представлен впервые в 1992 г. [6]. Создание магнитного микроскопа с высоким пространст-

венным разрешением стало возможным с появлением чувствительных датчиков Холла субмикронных размеров, сформированных из GaAs/AlGaAs. Принцип действия СХМ заключается в сканировании датчиком Холла поверхности образца и регистрации сигнала датчика в зависимости от текущих координат. В качестве механизма перемещения используется пьезоэлектрическая трубка, на конце которой закреплен чувствительный элемент с датчиком Холла и тонкопленочным золотым контактом. Образец закрепляют так, чтобы угол между поверхностью образца и датчиком составлял 1° – 2° . При сканировании угол чипа касается образца так, что между золотым контактом и образцом устанавливается туннельный ток. При таком касании расстояние между датчиком Холла и поверхностью составляет приблизительно 0.2 мкм, что определяет величину пространственного разрешения. Во время сканирования одновременно измеряют профили магнитного поля и топографию поверхности образца. СХМ – это пневмазийный инструмент (по оценкам [7], поле, создаваемое самим чувствительным элементом, составляет $<10^{-6}$ Тл), способный проводить количественные измерения профилей магнитного поля вблизи поверхности образца.

В работах [6, 7] холла-микроскопы использованы для исследований доменной структуры в магнитных пленках и проникновения квантов магнитного потока в высокотемпературные сверхпроводящие пленки.

Сравнение магнитных микроскопов. Для сравнения основных характеристик МСМ, микроскопа на основе датчика Холла и сквид-микроскопа

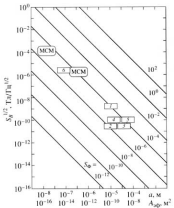


Рис. 11. Сравнительная диаграмма сканирующих магнитных микроскопов: 1 – ССМ на основе НТСП-сквида (University of Illinois, USA); 2 – ССМ на основе НТСП-сквида фирмы IBM (USA); 3 – ССМ на основе ВТСП-сквида (МГУ, Россия); 4 – ССМ на основе ВТСП-сквида (University of California, USA); 5 – ССМ на основе ВТСП-сквида (Maryland, USA); 6 – ССМ с магнитопроводом (University of Saarbrücken, Germany).

используется диаграмма, подобная диаграмме в работе [12], на которой по оси абсцисс указан эффективный линейный размер датчика (или его эффективная площадь), соответствующий минимальному пространственному разрешению прибора, а по оси ординат – чувствительность прибора к магнитному полю (рис. 11). Произведение чувствительности по полю и эффективной площади дает оценку чувствительности по магнитному потоку. Таким образом, диагонали диаграммы соответствуют изолиниям магнитного потока, выраженным в единицах квANTA потока Φ_0 .

Положения больших прямоугольников приблизительно соответствуют характеристикам МСМ и СХМ. Пять малых прямоугольников, расположенных ближе к правому нижнему углу, соответствуют описываемым в данной работе сканирующим сквид-микроскопам. ССМ уступает первым двум микроскопам по пространственному разрешению, но превосходит их примерно на два-три порядка в чувствительности по магнитному полю в единичной полосе частот.

Особое место на диаграмме занимает прямоугольник 6, соответствующий сквид-микроскопу

с магнитопроводом, пространственное разрешение которого приближается к пространственному разрешению МСМ и СХМ. В оригинальной работе не указана чувствительность этого ССМ, поэтому ее оценка дана в соответствии с типичными параметрами ВТСП-сквида.

ЗАКЛЮЧЕНИЕ

В последнее десятилетие появились и активно развиваются магнитные сквид-микроскопы, в которых в качестве чувствительного элемента используются низкотемпературные или высокотемпературные сквиды. Отличительной особенностью сквид-микроскопов является уникальная чувствительность по магнитному полю (лучше 10^{-10} Тл), пространственное разрешение в единицы-десетки микрометров, а также возможность получения количественных изображений распределения нормальной компоненты магнитных полей рассеяния различных физических объектов. Конструктивные особенности реальных сканирующих сквид-микроскопов связаны с необходимостью охлаждения сквидов и тщательной магнитной экранировкой от естественного магнитного поля Земли и различных электромагнитных наводок.

Сквид-микроскопы активно используются для исследований магнитных свойств сверхпроводящих пленок, магнитных ультратонких пленок и биомагнитных объектов. На основе сквид-микроскопов разрабатывают устройства неразрушающего магнитного контроля, позволяющие обнаруживать скрытые микродефекты, неоднородности, малоразмерные магнитные включения. Расширение возможностей метода в будущем связано с достижением субмикронного пространственного разрешения, повышенiem верхнего предела полей подмагничивания и возможностью изменения температуры образцов в широких пределах.

Авторы признательны J. Bohm, C. Heiden и M. Mack за плодотворное сотрудничество и полезные обсуждения, а также выражают благодарность А.С. Калабухову и Ю.В. Дерюжиной за помощь на различных этапах подготовки данного обзора.

Работа выполнена при частичной финансовой поддержке международного фонда ИНГАС (грант № 97-0894) и федеральной целевой научно-технической программы "Исследования и разработки по приоритетным направлениям науки и техники гражданского назначения" (госконтракт № 107-6(00)П).

СПИСОК ЛИТЕРАТУРЫ

1. Gorovik S.A., Kharikov A.F., Heinrich B. et al. // Supercond. Sci. Technol. 1996, V. 9, P. 952.
2. Grigorjeva I.V. // Supercond. Sci. Technol. 1994, V. 7, № 4, P. 161.

3. Hartmann U. // J. Magn. and Magn. Materials. 1996. V. 157/158. P. 545.
4. Martin Y., Wickramasinghe H.K. // Appl. Phys. Lett. 1987. V. 50. № 20. P. 1455.
5. Mansais S., Babcock K., Mussie J. et al. // Appl. Phys. Lett. 1995. V. 66. № 19. P. 2351.
6. Chang A.M., Hallen H.D., Harriot L. et al. // Appl. Phys. Lett. 1992. V. 61. № 16. P. 1974.
7. Oral A., Brading S.J., Henini M. // J. Vac. Sci. and Techn. 1996. V. B14. № 2. P. 1202.
8. Rogers F.P. // A Device for Experimental Observation of Flux Vertices Trapped in Superconducting Films: MIT Master's Thesis, Boston, USA. 1983. 112 p.
9. Hibbs A.D., Sager R.E., Cox D.W. et al. // Rev. Sci. Instrum. 1992. V. 63. № 7. P. 3652.
10. Manhai A., Sovov D., Gim Y. et al. // Appl. Phys. Lett. 1992. V. 61. № 5. P. 598.
11. Manhai A., Song D., Gim Y. et al. // IEEE Trans. 1993. V. AS-3. № 1. P. 2609.
12. Vir L.N., Van Harlingen D.J. // IEEE Trans. 1993. V. AS-3. № 1. P. 1918.
13. Vir L.N., Wijstrom M.S., Van Harlingen D.J. // Appl. Phys. Lett. 1993. V. 63. № 12. P. 1693.
14. Kirby J.R., Ketchen M.B. // IEEE Trans. 1995. V. AS-5. № 2. P. 2133.
15. Kirby J.R., Ketchen M.B., Stawasz K.G. et al. // Appl. Phys. Lett. 1995. V. 66. № 9. P. 1136.
16. Tsuei C.C., Kirby J.R., Chi C.C. et al. // Phys. Rev. Lett. 1994. V. 73. № 4. P. 593.
17. Tsuei C.C., Kirby J.R., Rupp M. et al. // J. Supercond. 1995. V. 8. № 4. P. 487.
18. Kirby J.R. // IEEE Spectrum. 1996. V. 33. № 12. P. 40.
19. Black R.C., Manhai A., Wellstood F.C. et al. // Appl. Phys. Lett. 1993. V. 62. № 17. P. 2128.
20. Black R.C., Wellstood F.C., Dantsker E. et al. // Appl. Phys. Lett. 1994. V. 64. № 1. P. 100.
21. Black R.C., Wellstood F.C., Dantsker E. et al. // Appl. Phys. Lett. 1995. V. 66. № 10. P. 1267.
22. Black R.C., Wellstood F.C., Dantsker E. et al. // Appl. Phys. Lett. 1995. V. 66. № 1. P. 99.
23. Кларк Дж. // ТИИЭР. 1989. V. 77. № 8. P. 1208.
24. Gudoshnikov S.A., Snigirev O.V., Verguts J.J. et al. // Cryogenics. 1994. V. 34. ICEC Supplement. P. 883.
25. Wellstood F.C., Gim Y., Amar A. et al. // IEEE Trans. 1997. V. AS-7. № 2. P. 3134.
26. Lee T.S., Dantsker E., Clarke J. // Rev. Sci. Instrum. 1996. V. 67. № 12. P. 4208.
27. Lee T.S., Chewla Y.R., Dantsker E. et al. // IEEE Trans. 1997. V. AS-7. № 2. P. 3147.
28. Gudoshnikov S.A., Manveet L.V., Andreev K.A. et al. // Appl. Supercond. 1998. V. 5. № 7-12. P. 313.
29. Pitrus P., Dworak V., Hartmann U. // Extended Abstracts 6th Int. Supercond. Electron. Conf. (ISEC'97). Berlin, Germany. June 25-28. 1997. V. 3. P. 395.
30. Tarrio Yu., Siegel M. // Extended Abstracts 6th Int. Supercond. Electron. Conf. (ISEC'97). Berlin, Germany. June 25-28. 1997. V. 3. P. 389.
31. Tanaka S., Yamazaki O., Shimizu R. et al. // Jap. J. Appl. Phys. 1999. V. 38. Pt. 1. № 5A. P. L505.
32. Tzelentzuk A.Ya., Ivanov Z.G., Peleshon S., Claeys T. // IEEE Trans. 1999. V. AS-9. № 2. P. 4115.
33. Gudoshnikov S.A., Koukhar M.J., Kalabukhov A.S. et al. // Proc. Eur. Conf. on Appl. Supercond. (EUCAS'99). Barcelona, Spain. September 14-17. 1999. Inst. Phys. Conf. Ser. 2000. № 167. P. 541.
34. Andreev K.E., Bobyl A.V., Gudoshnikov S.A. et al. // Supercond. Sci. Technol. 1997. V. 10. № 5. P. 366.
35. Snigirev O.V., Andreev K.E., Tishin A.M. et al. // Phys. Rev. B. 1997. V. 55. № 21. P. 14429.
36. Смирнов О.В., Ташин А.М., Гудошников С.А. и др. // Физика твердого тела. 1998. Т. 40. № 9. С. 1681.
37. Бор Я., Гудошников С.А., Андреев К.Э., Смирнов О.В. и др. Способ записи и считывания информации: Патент России № 2124755 // Б.И. 1999. № 1.
38. Gudoshnikov S.A., Snigirev O.V., Tishin A.M. // Proc. Europ. Conf. on Appl. Supercond. (EUCAS'99). Barcelona, Spain. September 14-17. 1999. P. 553
39. Morooka T., Nakamura S., Odawara A. et al. // Jap. J. Appl. Phys. 1999. V. 38. Pt. 2. № 2A. P. L119.
40. Wilksoo J.P., Jr. // IEEE Trans. 1995. V. AS-5. № 2. P. 74.
41. Jenks W.G., Sadeghi S.S.H., Wilksoo J.P., Jr. // J. Phys. D. Appl. Phys. 1997. V. 30. P. 293.
42. Tarrio Y., Siegel M., Hissken J. // IEEE Trans. 1999. V. AS-9. № 2. P. 3809.
43. Nagaiishi T., Kugai H., Toyoda H., Itozaki H. // IEEE Trans. 1997. V. AS-7. № 2. P. 2886.
44. den Boef A.J. // Appl. Phys. Lett. 1989. V. 55. № 5. P. 439.
45. Rahrig M., Partlun S., Lodder J.C. // Rev. Sci. Instrum. 1994. V. 65. № 10. P. 3224.